### Фитерер Елена Петровна

# ОЛИГОМЕРИЗАЦИЯ ФРАКЦИЙ ЖИДКИХ ПРОДУКТОВ ПИРОЛИЗА ПРЯМОГОННОГО БЕНЗИНА ПОД ДЕЙСТВИЕМ КАТАЛИТИЧЕСКИХ СИСТЕМ ТЕТРАХЛОРИД ТИТАНА – АЛЮМИНИЙОРГАНИЧЕСКИЕ СОЕДИНЕНИЯ

Специальность 02.00.06 – высокомолекулярные соединения

#### **АВТОРЕФЕРАТ**

диссертации на соискание учёной степени кандидата химических наук

Работа выполнена на кафедре технологии основного органического синтеза Томского политехнического университета

Научный руководитель: кандидат химических наук,

доцент

Бондалетов Владимир Григорьевич

Официальные оппоненты: доктор химических наук,

профессор

Базарнова Наталья

Григорьевна

кандидат химических наук, доцент Березина Елена Михайловна

Ведущая организация: Кузбасский государственный

технический университет

Защита состоится «23» июня 2006 года в <u>15.00</u> часов, в ауд. № 304, на заседании диссертационного совета К 212.004.06 в Алтайском государственном техническом университете им. И. И. Ползунова по адресу: 656038, г. Барнаул, пер. Некрасова 64 (химический корпус).

С диссертацией можно ознакомиться в библиотеке Алтайского государственного технического университета им. И. И. Ползунова.

Автореферат разослан «23» мая 2006 г.

Учёный секретарь диссертационного совета к.х.н., доцент

Напилкова О. А.

- 14. Пат. № 2233846 Российская Федерация, МПК<sup>7</sup> Способ получения нефтеполимерных смол. Способ получения нефтеполимерных смол. /Бондалетов В. Г., Приходько С. И., Антонов И. Г., Бондалетова Л. И., Фитерер Е. П. № 2003101483; зявл. 20.01.2003; опубл. 10.08.2004, Бюл. № 22. 6 с.
- 15. Пат. № 2235140 Российская Федерация, МПК<sup>7</sup> Способ получения нефтеполимерных смол. /Бондалетов В. Г., Приходько С. И., Антонов И. Г., Бондалетова Л. И., Фитерер Е. П. № 2003107629; зявл. 20.03.2003; опубл. 27.08.2004, Бюл. № 24. 6 с.
- 16. Пат. 2261872 Российская Федерация, МПК $^7$  Способ получения масляно-смоляного плёнкообразующего. /Бондалетов В. Г., Приходько С. И., Антонов И. Г., Бондалетова Л. И., Вахрамеева О. В., Фитерер Е. П. № 2004107822; зявл. 16.03.2004; опубл. 10.10.2005, Бюл. № 28. 4 с.
- 17. Фитерер Е. П. Получение нефтеполимерных смол каталитической полимеризацией непредельных углеводородов жидких продуктов пиролиза /Е. П. Фитерер, В. Г. Бондалетов, С. И. Приходько, С. С. Новиков. //Химия XXI век: новые технологии, новые продукты: VIII Международная научно-практическая конференция. Кемерово, 2005. С. 353-356.
- 18. Фитерер Е. П. Новые плёнкообразующие материалы для лакокрасочной промышленности. /Е. П. Фитерер Т. И. Соловьёва, И. В. Головкова. //Всероссийская научно-практическая конференция студентов и молодых учёных «Лакокрасочные материалы и покрытия современное состояние и тенденции развития» Казань, 2005. С. 43-47.

- 5. Фитерер Е. П. Исследование взаимодействия некоторых фракций пироконденсата с каталитической системой  $TiCl_4$ – $Al(C_2H_5)_2Cl$ . /Е. П. Фитерер, В. Г. Бондалетов, С. С. Новиков, С. И. Приходько. //Изв. ВУЗов Химия и химическая технология, 2004. Том 47. вып. 10. С. 101-105.
- 6. Фитерер Е. П. Полимеризация высококипящих фракций пироконденсата на каталитических системах типа Циглера Натта. /Е. П. Фитерер, В. Г. Бондалетов, Л. И. Бондалетова. //Изв. ВУЗов. Химия и химическая технология, 2004. Том 47. вып. 1. С. 127-130.
- 7. Фитерер Е. П. Получение олигомерных смол полимеризацией побочных продуктов пиролиза на катализаторе  $TiCl_4$   $Al(C_2H_5)_2Cl$ . /Е. П. Фитерер, В. Г. Бондалетов, Л. И. Бондалетова. //Материалы III Всероссийской научной конференции «Химия и химическая технология на рубеже тысячелетий» Томск, 2004. С. 101-102.
- 8. Фитерер Е. П. Системы четыреххлористый титан алюминийорганические соединения в полимеризации дициклопентадиеновой фракции. /Е. П. Фитерер, В. Г. Бондалетов, С. И. Приходько. //Материалы Международной научно-практической конференции "Химия — XXI век: новые технологии, новые продукты" — Кемерово, 2004. — С. 75-77.
- 9. Бондалетов В. Г. Исследование процесса взаимодействия эпоксидных соединений с компонентами каталитической системы  $TiCl_4$   $Al(C_2H_5)_2Cl$ . /В. Г. Бондалетов, В. Я. Толмачёва, Л. И. Бондалетова, Е. П. Фитерер. //Изв. ВУЗов Химия и химическая технология, 2004, Том 47. вып. 10. С. 105-108.
- Fiterer E. P. Experimental study of the reaction between epoxy compounds and titanium tetrachloride. /E. P. Fiterer V. G. Bondaletov, V. Ya. Tolmacheva, L. V. Timoshenko. //8<sup>th</sup> Korea-Russia International Symposium on Science and Technolody, KORUS 2004. At Tomsk Polytechnic Universiti. P. 26-28.
- 11. Бондалетов В. Г. Разработка рациональных методов получения олигомерных продуктов пиролиза установки ЭП 300 ООО «Томскнефтехим». /В. Г. Бондалетов, С. И. Приходько, И. Г. Антонов, К. В. Ермизин, Н. Н. Кузнецов, Е. П. Фитерер. //Пластические массы, 2004. № 5. С. 48-50.
- 12. Бондалетов В. Г. Синтез и модификация нефтеполимерных смол. /В. Г. Бондалетов, Л. И. Бондалетова, А. А. Троян, Е. П. Фитерер. //Ползуновский вестник г. Барнаул. 2004. № 4. С. 42-49.
- 13. Бондалетов В. Г. Влияние условий дезактивации каталитической системы  $TiCl_4$ – $Al(C_2H_5)_2Cl$  эпоксидными соединениями на свойства нефтеполимерных смол. /В. Г. Бондалетов, Е. П. Фитерер, В. Я. Толмачёва, Л. И. Бондалетова. //Известия ВУЗов. Химия и химическая технология, 2005. Том 48. вып. 11. С. 73–76.

#### 1 ОБШАЯ ХАРАКТЕРИСТИКА РАБОТЫ

Актуальность темы. Одним из весьма востребованных олигомерных углеводородных продуктов являются так называемые нефтеполимерные смолы (НПС), получаемые путем соолигомеризации непредельных соединений, содержащихся в продуктах высокотемпературной переработки углеводородного сырья. Для получения НПС также могут быть использованы смеси индивидуальных олефинов и побочные продукты, образующиеся при получении мономеров в процессах гидрирования, дегидрирования и конденсации.

Углеводородные олигомеры природного и искусственного происхождения с невысокой молекулярной массой (смолы) используются в различных областях промышленности, в качестве пластификаторов полимерных компаундов и бетонов, модификаторов битумов, компатибилизаторов и аппретов, компонентов лакокрасочных материалов, алгезивов.

Стоимость природных олигомеров, как правило, велика, и часто отдельные свойства не позволяют использовать их в требуемой области применения. В настоящее время в мировой практике реализуются как направление модификации природных олигомерных продуктов, так и направленный синтез синтетических материалов.

Наибольшее распространение получили способы радикальной олигомеризации, в которых устранены стадии отделения инициатора. Однако они требуют либо высоких температур при термическом способе, либо наличия нестабильных инициаторов – при инициированном. При этом не достигаются высокие выходы целевых продуктов, и требуется дополнительная переработка непрореагировавших углеводородов. Отчасти вышеупомянутые проблемы решаются при реализации способа ионной олигомеризации с использованием AlCl<sub>3</sub> и его комплексов, ранее широко представленного в промышленности. Однако и этот способ требует стадии приготовления комплекса и стадии его утилизации по окончании процесса.

В настоящей работе рассмотрен способ получения углеводородных олигомеров из фракций жидких продуктов пиролиза прямогонного бензина в присутствии эффективных каталитических систем на основе тетрахлорида титана и алюминийорганических соединений ( $Al(C_2H_5)_3$ ,  $Al(u_{30}-C_4H_9)_3$ ,  $Al(C_2H_5)_2Cl$ ). Олигомеризация с использованием данных каталитических систем протекает в гомогенной среде, что позволяет точно контролировать параметры течения процесса и, соответственно, получать смолы требуемого качества. Также предложен способ безотходной дезактивации каталитических комплексов. Исследования, проводимые в данном направлении, позволят создать теоретические предпосылки для производства НПС, обеспечивающего высокие техническую и экологическую эффективность процесса. Работа имеет широкий характер, так как ее результаты могут быть использованы

при реализации процессов с использованием технических смесей мономеров, так и заранее заданных модельных.

**Целью работы** является исследование закономерностей олигомеризации ароматической и циклоалифатической фракций жидких продуктов пиролиза прямогонных бензинов с использованием каталитических систем на основе  $TiCl_4$  и  $Al(C_2H_5)_3$ ,  $Al(uso C_4H_9)_3$ ,  $Al(C_2H_5)_2Cl$ , а также изучение особенностей их дезактивации оксидами олефинов.

Для достижения поставленной цели решались следующие задачи:

- исследовать состав некоторых фракций жидких продуктов пиролиза с использованием различных физических и спектральных методов;
- подобрать приемлемые условия процесса олигомеризации с использованием каталитических систем на основе  $TiCl_4$  и  $Al(C_2H_5)_3$ ,  $Al(C_2H_5)_2Cl$ ,  $Al(изо-C_4H_9)_3$  стирольной (СИФ) и дициклопентадиеновой фракций (ДЦПДФ);
- определить состав полученных олигомерных продуктов с использованием ИК-, ЯМР  $^1$ H- спектроскопии и физико-химических методов;
- установить механизм протекания процесса дезактивации каталитических систем оксидами олефинов и структуры полученных продуктов методами ИК- и ЯМР  $^1$ H- спектроскопии.
- выявить возможности практического применения полученных олигомерных результатов.

**Научная новизна.** Впервые исследован процесс олигомеризации высококипящих пиролизных фракций с использованием каталитических систем на основе  $TiCl_4$  и  $Al(C_2H_5)_3$ ,  $Al(C_2H_5)_2Cl$ ,  $Al(u3o-C_4H_9)_3$ .

Установлено, что активность каталитических систем  $TiCl_4$  с различными алюминийорганическими соединениями зависит от соотношения стирол : дициклопентадиен в исследуемых фракциях.

Показано, что выход олигомера и его физико-химические характеристики зависят от природы алюминийорганического соединения и соотношения Al: Тi и имеют экстремальный характер с максимумами в области от 0,3 до 1,0.

Впервые исследована зависимость физико-химических свойств олигомеров от вида оксида олефина. Определены оптимальные соотношения катализатор: дезактиватор для получения смол с улучшенными характеристиками.

Полученные результаты являются теоретическим основанием для создания непрерывного безотходного производства синтетических углеводородных олигомеров с использованием каталитических систем на основе  $TiCl_4$  и алюминийорганических соединений.

- $Al(C_2H_5)_2Cl \ge Al(C_2H_5)_3 > Al(изо-C_4H_9)_3$ , выход и физико-химические характеристики НПС зависят от мольного соотношения Al : Ті и имеют экстремальный характер с максимумами в области от 0,3 до 1,0
- 4. Рассчитаны константы соолигомеризации модельных смесей ДЦПД: стирол в присутствии каталитической системы  $TiCl_4$ :  $Al(C_2H_5)_3$  в мольном соотношении 1:1. Установлено, что образующийся (со)олигомер обогащён звеньями стирола.
- 5. Разработан способ безотходной дезактивации каталитических систем с использованием ряда эпоксидных соединений. Установлено, что эпоксиды превращаются в органорастворимые 2-алкоксипроизводные титана и алюминия. Увеличение количества используемого эпоксида свыше стехиометрического приводит к повышению температуры размягчения, адгезии, эластичности и водостойкости.
- 6. Предложена принципиальная непрерывная технологическая схема получения НПС. Выпущены две опытно-промышленные партии НПС с использованием каталитических систем тетрахлорид титана алюминийорганические соединения, на основе которых получены эмали и пропиточные лаки. Результаты испытаний показали, что опытные эмали и лаки по качеству не уступают стандартным.

## Основное содержание работы изложено в следующих публикациях:

- 1. Фитерер Е. П. Полимеризация жидких продуктов пиролиза на каталитических системах типа Циглера Натта. /Е. П. Фитерер, В. Г. Бондалетов, И. А. Ли. //Материалы II научной конференции «Химия и химическая технология на рубеже тысячелетий» Томск, 2002, Том 1, С. 322—325.
- 2. Фитерер Е. П. Выбор каталитической системы для полимеризации жидких продуктов пиролиза углеводородов. /Е. П. Фитерер, В. Г. Бондалетов, Л. И. Бондалетова. //Материалы Международной конференции «XVII Менделеевский съезд по общей и прикладной химии» Казань, 2003. С. 365.
- 3. Фитерер Е. П. Исследование закономерностей каталитической полимеризации жидких продуктов пиролиза на катализаторе  $TiCl_4$   $Al(C_2H_5)_3$ . /Е. П. Фитерер, В. Г. Бондалетов, Л. И. Бондалетова. //Материалы Региональной научно практической конференции «Технология органических веществ и высокомолекулярных соединений» Томск, 2003. С. 160-163.
- 4. Фитерер Е. П. Исследование возможности использования кубовых продуктов ЭП 300 и закономерностей синтеза полимерных продуктов на их основе. /Е. П. Фитерер, В. Г. Бондалетов, Л. И. Бондалетова, С. И. Приходько. //Материалы Международной научно-практической конференции «Химия XXI век: новые технологии, новые продукты» Кемерово, 2003. С. 68-69.

Наиболее светлыми являются НПС, полученные с использованием ОП в качестве дезактиватора каталитической системы, в то время как наиболее тёмным цветом обладают смолы, полученные с применением ЭПХГ.

Использование глицидиловых эфиров приводит к продуктам с повышенным цветом по сравнению с ОП, причем существенной разницы между НПС с  $\Phi\Gamma$ Э и с  $\Gamma$ Э практически нет.

Учитывая недостатки, связанные со стадией дезактивации и отмывки катализатора при производстве НПС в данной работе разработана технологическая схема синтеза НПС с использованием тетрахлорида титана и алюминийорганических соединений и дезактивации каталитических систем оксидами олефинов (рис. 3.2).

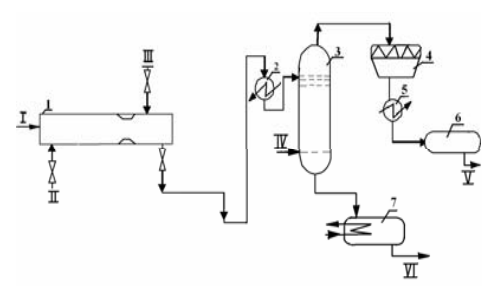


Рисунок 3. 2 Принципиальная технологическая схема производства НПС с использованием каталитических систем на основе тетрахлорида титана и алюминийорганических соединений

1, реактор полимеризатордезактиватор; 2- подогреватель; 3- отгонная колонна; 4 воздушный холодильник; 5-холодильник; 6- сборникотстойник; 7-сборник расплава НПС.

Описание потоков:

І- исходное сырьё ЖПП; ІІ-каталитический комплекс; ІІІ-раствор оксидов олефинов; ІV-водяной пар; V- отгон; VІ- смола на растворение или на грануляцию.

#### выволы

- 1. Разработан способ олигомеризации ароматической и цикло-алифатической фракций жидких продуктов пиролиза с использованием каталитических систем на основе  $TiCl_4$  и  $Al(C_2H_5)_3$ ,  $Al(C_2H_5)_2Cl$ ,  $Al(изо-C_4H_9)_3$ . Фракции как стирольного типа, так и дициклопентадиенового типа успешно вступают в реакции олигомеризации в интервале температур 60-80 °C и концентрации  $TiCl_4$  от 1,5 до 2 % с образованием олигомеров с молекулярной массой 500-700 г/моль.
- 2. Установлено, что индивидуальные  $TiCl_4$  и алюминий-органические компоненты обладают низкой каталитической активностью, а образующиеся олигомеры высокой цветностью и низкой температурой размягчения. Использование систем приводит к повышению выхода олигомеров с улучшенными характеристиками.
- 3. Активность каталитических систем зависит от природы алюминийорганического компонента и изменяется следующим образом:

**Практическая значимость.** Разработан способ олигомеризации ароматических и циклоалифатических высококипящих фракций жидких продуктов пиролиза с использованием каталитических систем на основе  $TiCl_4$  и  $Al(C_2H_5)_3$ ,  $Al(C_2H_5)_2Cl$ ,  $Al(u3o-C_4H_9)_3$ .

Установлены связи между основными параметрами процесса, свойствами олигомеров и покрытий на их основе.

Предложен способ дезактивации каталитических систем оксидами олефинов, позволяющий устранить стадии центрифугирования отстаивания, и сушки. Способ также устраняет образование подсмольных вод и шламов.

Разработана принципиальная технологическая схема непрерывного производства углеводородных олигомеров из жидких продуктов пиролиза. Разработаны технические условия и выпущена опытно-промышленная партия НПС. Из опытных партий НПС были изготовлены эмали и пропиточные лаки.

#### Положения, выносимые на защиту.

- 1. Новый способ олигомеризации ароматических и циклоалифатических фракций жидких продуктов пиролиза с использованием каталитических систем на основе  $TiCl_4$  и  $Al(C_2H_5)_3$ ,  $Al(C_2H_5)_2Cl$ ,  $Al(изо-C_4H_9)_3$ . Связь условий полимеризации с характеристиками полученных олигомеров.
- 2. Процесс дезактивации каталитических систем эпоксидными соединениями. Зависимость свойств полученных олигомеров от структуры используемых дезактиваторов и соотношения катализатор : дезактиватор.

Апробация работы. Результаты работы представлены в докладах на Международных научно-практических конференциях «Химия – XXI век: новые технологии, новые продукты» г. Кемерово, 2003 – 2005 гг.; Региональной научно—практической конференции «Технология органических веществ и высокомолекулярных соединений» г. Томск, 2003 г.; VII Российско-Корейском симпозиуме KORUS г. Томск, 2004 г.; Международной конференции «Перспективы и развитие фундаментальных наук» г. Томск 2005 г.; Всероссийской научно—практической конференции «Лакокрасочные материалы и покрытия современное состояние и тенденции развития» г. Казань 2005 г, КГТУ.

<u>Публикации.</u> Основные положения диссертации опубликованы в 31 работе, из них статей в центральной печати -6, патентов Российской Федерации -3.

<u>Объём и структура работы.</u> Диссертация состоит из введения, четырёх глав, выводов и изложена на 145 стр., включающих 17 таблиц, 39 рисунков и списка литературы из 158 наименований.

<u>Достоверность</u> <u>результатов</u> подтверждается применением современных химических и физико-химических методов исследования, выполненных на оборудовании с высоким классом точности.

#### КРАТКОЕ СОДЕРЖАНИЕ РАБОТЫ

Во введение кратко сформулирована актуальность, цель, задачи исследования и научная новизна работы.

<u>В первой главе</u> рассмотрены аспекты переработки фракций жидких продуктов пиролиза, являющихся побочными продуктами получения низших олефинов. Детально рассмотрено одно из перспективных направлений рационального использования фракций – получение олигомерных углеводородных продуктов - нефтеполимерных смол. Показаны преимущества и недостатки каждого из способов получения НПС, осуществлён их сравнительный анализ. Сделан обзор по основным направлениям применения олигомеров. Представлено литературное обобщение результатов многолетних исследований в данном направлении, выполненных как зарубежными, так и отечественными авторами.

Во второй главе рассматриваются основные методы исследования, применяемые в рамках данной работы. Идентификацию фракций продуктов пиролиза и полученных олигомеров осуществляли методами ЯМР <sup>1</sup>Н-, ИК- спектроскопии и газожидкостной хроматографии. Исследование процесса олигомеризации проводили гравиметрически и с помощью ЯМР <sup>1</sup>Н- спектроскопии. Молекулярную массу определяли криоскопически, степень ненасыщенности- по величине бромного числа. Физико-химические характеристики НПС определяли с использованием методов, описанных в ГОСТах. Термостабильность олигомеров определяли при помощи дифференциально-термического анализа.

<u>В третьей главе</u> изложены результаты исследования состава фракций жидких продуктов пиролиза прямогонного бензина, которые отличаются содержанием основных мономеров и их соотношением. Один из представленных вариантов фракций, названный нами стирольной (СИФ), содержит преимущественно алкенилароматические углеводороды, другой образец содержит преимущественно диеновые соединения типа дициклопентадиена, соответственно, дициклопентадиеновая фракция (ДЦПДФ).

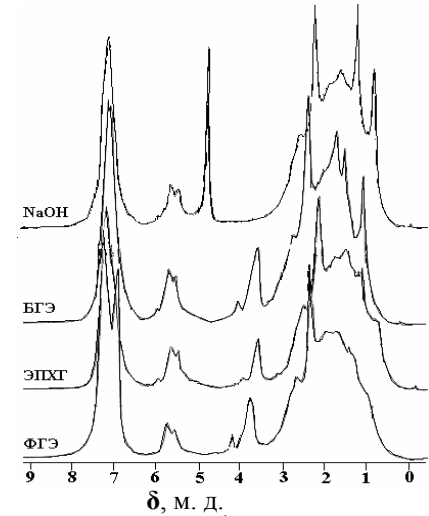
<u>В чемвёртой главе</u> рассмотрены способы дезактивации  $TiCl_4$  и каталитических систем на основе  $TiCl_4$  и  $Al(C_2H_5)_3$ ,  $Al(C_2H_5)_2Cl$ ,  $Al(изо-C_4H_9)_3$  и предложена принципиальная схема производства НПС.

#### ОСНОВНОЕ СОДЕРЖАНИЕ РАБОТЫ

2 Изучение закономерностей олигомеризации с использованием каталитических систем на основе тетрахлорида титана и алюминийорганических соединений

Природа процесса полимеризации катализаторами Циглера-Натта всегда являлась предметом серьёзных дискуссий по поводу его механизма.

олигомерных эфиров. Дезактивация каталитической системы водным



**Рисунок 3. 1** ЯМР  $^{1}$ Н — спектры НПС $_{\text{СИФ}}$ ; Al( $C_{2}$ Н $_{5}$ ) $_{2}$ Cl:TiCl $_{4}$  в мольном соотношении равном 1:1

каталитической системы водным раствором NaOH приводит к продукту, не имеющему в ЯМР <sup>1</sup>Н – спектрах сигналов в области 3,9 – 4,4 м.д., что позволяет отнести данную спектральную область к области алкоксидов Ті и АІ (рис. 3.1) и использовать ее в качестве аналитической при анализе НПС.

Физико-химические характеристики полученных олигомеров представлены в таб. 3.2, откуда следует, что, меняя условия их выделения, можно целенаправленно в определенпределах варьировать температуру размягчения, молекулярную массу, растворимость обычно используемых растворителях (сольвент, бензол, хлороформ) и их способность к плёнкообразованию.

Таблица 3. 2 – Физико-химические свойства нефтеполимерных смол

Дезакти-	Молекулярная	Бромное	Эластич-	Т <sub>РАЗМ</sub> . по	Цвет по	Адгезия,		
вирующий	масса, г/моль	число,	ность, мм		ИМШ 50%	балл.		
агент		г Br <sub>2</sub> /100г			р-р НПС			
NaOH	596	52	20	94	600	4		
соотношение катализатор : эпоксид 1 : 7								
ФГЭ	714	56	20	103	220	2		
ОП	690	54	25	96	230	3		
БГЭ	757	56	15	114	200	2		
ЭПХГ	696	50	20	119	250	2		
	соотн	ошение ката	ализатор : эп	оксид 1:10				
ФГЭ	647	59	15	109	220	1		
ОП	533	56	10	100	130	2		
БГЭ	835	60	10	108	200	2		
ЭПХГ	515	58	15	103	250	2		
соотношение катализатор : эпоксид 1 : 20								
ΘГЭ	980	55	8	118	150	1		
ОП	698	58	10	112	100	2		
БГЭ	750	54	10	115	180	2		
ЭПХГ	885	57	10	109	250	2		

использовали фенилглицидиловый эфир (ФГЭ), бутилглицидиловый эфир (БГЭ), эпихлоргидрин (ЭПХГ), оксид пропилена (ОП).

Идентификация структуры образующихся продуктов необходима для прогнозирования дальнейших путей их взаимодействия с кислородом и влагой воздуха и другими веществами, которые могут вступить в контакт на поверхности покрытий, содержащих углеводородные олигомеры.

Известно, что при раскрытии окисного цикла окисей несимметричного строения возможно образование двух изомеров:

Для изучения механизма процесса дезактивации реакцию  $TiCl_4$  с оксидами олефинов изучали в растворе петролейного эфира при температуре 80 °C и концентрации  $TiCl_4$  2 %. Мольные соотношения  $TiCl_4$  с оксидами составляли 1 : 4.

Исчезновение сигналов протонов метиленовых групп в области с хим. сдвигом 2,70-2,78 м.д. свидетельствует о раскрытии эпоксидного кольца.

Для установления структуры полученных продуктов были проведены расчёты ЯМР <sup>1</sup>Н спектров возможных алкоксидов титана (1) и (2). Сравнение параметров экспериментальных спектров с расчётными данными, полученными с использованием программы Chem office 2000 Ultrem, указывает на образование структуры (2), то есть раскрытие эпоксидного цикла происходит по механизму II.

**Таблица 3. 1** – Спектры ЯМР  $^{1}$ Н соединений алкоксидов титана (структура 2)

	Заместитель, R-	Химический сдвиг, 8, м.д.
I	C <sub>6</sub> H <sub>5</sub> O	3,54 (д, 2 Н,СНО); 3,95 (д, 2 Н СН <sub>2</sub> С1)
		4,28 (м, 1 H CHO); 6,7 – 7,3(м,5 H, аром.)
II	C <sub>4</sub> H <sub>9</sub> O	0,96 (T, 3 H, CH <sub>3</sub> ); 1,18 (д, 2 H, CH <sub>2</sub> O)
		1,81 (д, 2 H, CH <sub>2</sub> Cl); 4,28 (м, 1 H, CHO)
III	CH <sub>3</sub>	1,32 (д, 3 H, CH <sub>3</sub> ); 3,82 (д, 2 H, CH <sub>2</sub> Cl)
		4,18 (м, 1 H, CHO)
IV	Cl	3,90 (M, 4 H, 2 CH <sub>2</sub> Cl); 4,31 (M, 1 H, CHO)

При проведении олигомеризации стирольной фракции и дезактивации были получены  $H\Pi C_{CU\Phi}$ , идентифицированные с помощью ИК-,  $SMP^{1}H$  – спектроскопических методов.

При использовании избытка оксидов олефинов (более 7 молей относительно стехиометрического) в спектрах ЯМР <sup>1</sup>Н возрастает интенсивность сигналов в области 3,9 м. д., соответствующие протонам –СНО-

Взаимодействие алкилов алюминия с тетрахлоридом титана в процессе полимеризации является сложной реакцией, которая может осуществляться разными путями. Однако основной реакцией в процессе взаимодействия с алкенами является координация молекулы мономера у атома Ті и внедрение мономера в состав комплекса за счёт разрыва связи Ті-СІ в катализаторе. При этом мономер выступает в роли донора  $\pi$ -электронов, а переходный металл катализатора благодаря наличию вакантных d-орбиталей является акцептором.

$$\begin{array}{c} \text{Cl} & \text{Cl} & \text{C2H}_5 \\ \text{Cl} & \text{Cl}_4 & \text{C2H}_5 \\ \text{CH}_3 & \text{CH}_3 & \text{CH}_3 & \text{CH}_3 & \text{CH}_3 & \text{CH}_3 \\ \text{CH}_3 & \text{CH}_3 & \text{CH}_3 & \text{CH}_3 & \text{CH}_3 & \text{CH}_3 \\ \text{CH}_3 & \text{CH}_3 & \text{CH}_3 & \text{CH}_3 & \text{CH}_3 & \text{CH}_3 \\ \text{CH}_3 & \text{CH}_3 & \text{CH}_3 & \text{CH}_3 & \text{CH}_3 & \text{CH}_3 \\ \text{CH}_3 & \text{CH}_3 & \text{CH}_3 & \text{CH}_3 & \text{CH}_3 & \text{CH}_3 \\ \text{CH}_3 & \text{CH}_3 & \text{CH}_3 & \text{CH}_3 & \text{CH}_3 & \text{CH}_3 \\ \text{CH}_3 & \text{CH}_3 & \text{CH}_3 & \text{CH}_3 & \text{CH}_3 \\ \text{CH}_3 & \text{CH}_3 & \text{CH}_3 & \text{CH}_3 & \text{CH}_3 \\ \text{CH}_3 & \text{CH}_3 & \text{CH}_3 & \text{CH}_3 & \text{CH}_3 \\ \text{CH}_4 & \text{CH}_5 & \text{CH}_5 & \text{CH}_5 \\ \text{CH}_5 \text{CH}_5 & \text{C$$

С целью установления основных закономерностей процессов и разработки на основе полученных результатов эффективного способа получения смол нами был рассмотрен процесс олигомеризации непредельных углеводородов, входящих в состав СИФ и ДЦПДФ, с использованием  $TiCl_4$  и каталитических систем  $TiCl_4$ – $Al(C_2H_5)_2Cl$ ,  $TiCl_4$ – $Al(C_2H_5)_3$ ,  $TiCl_4$ – $Al(uso-C_4H_9)_3$ .

Исследование зависимости выхода олигомера от времени протекания процесса олигомеризации непредельных соединений СИФ (рис. 2.1) и ДЦПДФ (рис. 2.2) в присутствии каталитического комплекса  $TiCl_4$ – $Al(C_2H_5)_2Cl$  показало, что реакция в основном заканчивается за 180 мин.

Полученные результаты свидетельствуют о том, что выход олигомера существенно зависит от мольного соотношения компонентов каталитического комплекса, что явилось предметом дальнейших исследований.

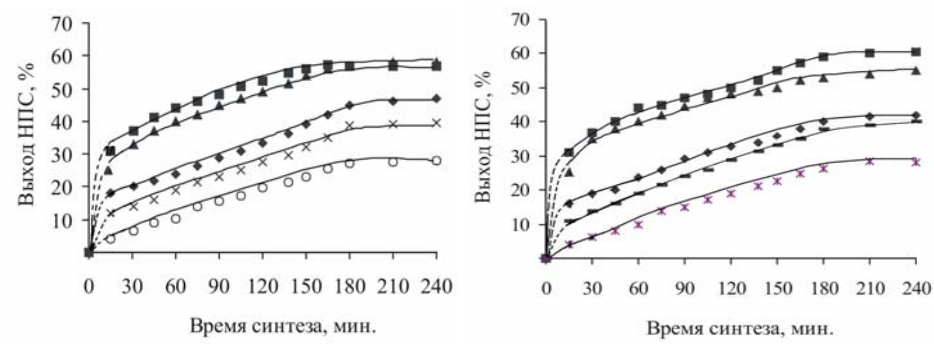
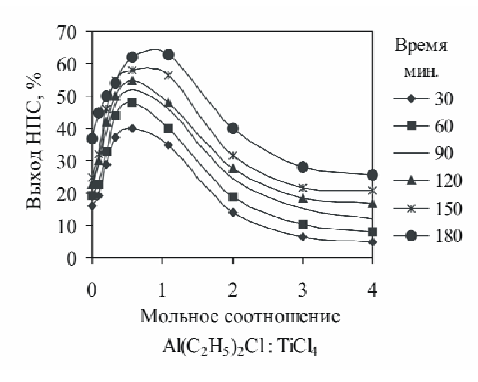


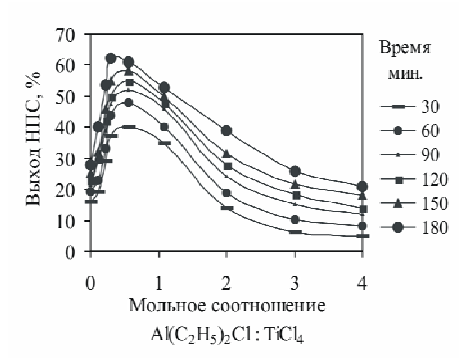
Рисунок 2.1 Зависимость выхода  $H\Pi C_{CИ\Phi}$  от времени олигомеризации. Мольное соотношение  $TiCl_4$ : $Al(C_2H_5)_2Cl$  ♦ 1,0:0,1; ■ 1,0:0,3; ▲ 1,0:1,0; -1,0:2,0; x 1,0:3,0

Рисунок 2. 2 Зависимость выхода  $H\Pi C_{\Pi U\Pi D\Phi}$  от времени олигомеризации. Мольное соотношение  $TiCl_4:Al(C_2H_5)_2Cl$ , 1,0:0,1; ■ 1,0:0,3; ▲ 1,0:1,0; x 1,0:2.0: ○ 1.0:3.0

Было установлено, что все кинетические кривые, независимо от используемых алюминийорганических соединений, имеют аналогичный характер.

Результаты зависимости выхода олигомера от мольного соотношения  $Al(C_2H_5)_2Cl:TiCl_4$  (концентрация  $TiCl_4-2$  %), представлены в виде графиков на рис. 2.3, 2.4.





**Рисунок 2.3** Зависимость выхода  $H\Pi C_{\Pi U\Pi D\Phi}$  от мольного соотношения  $Al(C_2H_5)_2Cl:TiCl_4$ 

**Рисунок 2.4** Зависимость выхода  $H\Pi C_{CИ\Phi}$  от мольного соотношения  $Al(C_2H_5)_2Cl: TiCl_4$ 

Из рисунков 2.3, 2.4 следует, что выход олигомера в каждом временном интервале существенно зависит от мольного соотношения компонентов каталитической системы, и зависимость имеет

затруднено для интерпретации вследствие неустановленного состава части углеводородов фракции.

С целью установления реакционной способности мономеров (со)олигомеризации при синтезе НПС на основе пиролизных фракций была изучена кинетика бинарных модельных смесей ненасыщенных углеводородов, входящих в состав используемых фракций ДЦПД и стирола (таб. 2.3). Процесс проводили с использованием каталитической системы  $TiCl_4$ :Al( $C_2H_5$ )3, с мольным соотношением 1:0,33 при температуре 60 °C, в течении 60 мин. Константы (со)олигомеризации рассчитывали по методу Келена и Тюдеша.

Таблица 2. 3 – Показатели процесса (со)олигомеризации моно-

меров ДППД  $(M_1)$ :стирол  $(M_2)$  при различных соотношениях

Ī	Соотношение	Соотношение Соотношение мономеров, % мол.					
	$(M_1):(M_2), \%$ macc.		$\mathbf{r}_1$	$r_2$			
	(1V1]).(1V12), 70 Macc.	в исходной					
		$(M_1)_0$	$(M_2)_0$	$(M_1)$	$(M_2)$		
ĺ	100:0	100	-	12,2	-		
	80:20	75,9	24,1	71,7	28,3	Ī	
	70:30	64,8	35,2	59,6	40,4	0,14	0,95
	50:50	44,1	55,9	38,5	61,5	Ī	
	30:70	25,3	74,7	21,1	78,9	Ī	
ĺ	20:80	16,5	83,5	13,9	86,1	Ī	
	0:100	100	-	-	100		

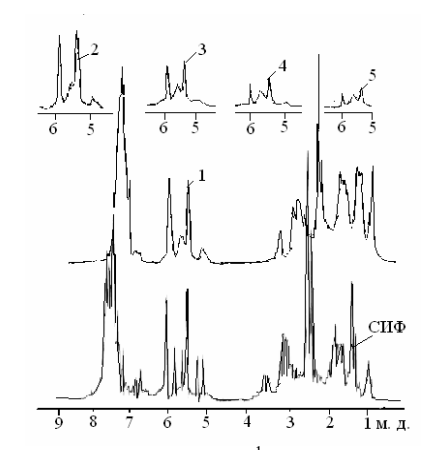
Результаты исследований (со)олигомеризации ДЦПД и стирола, свидетельствуют о наибольшей активности стирола. Во всём исследуемом интервале стирол расходуется практически полностью, ДЦПД является менее активным мономером полученный (со)олигомер обогащён звеньями стирола.

## 3. Дезактивация каталитических систем эпоксидными соединениями

Для эффективного завершения процессов ионной полимеризации требуется использование соединений, при взаимодействии с которыми компоненты каталитического комплекса переходят в неактивное состояние. Ранее для дезактивации катионных катализаторов применялись водные растворы гидроокисей щелочных металлов или аммиака, после чего требовалось разделение эмульсий, удаление солей и воды из получаемого олигомера. Эти операции чрезвычайно трудоемки, и приводят к потерям олигомера и образованию загрязненных подсмольных вод.

В данной работе для дезактивации каталитических комплексов предложено использовать оксиды олефинов, реакции которых с TiCl<sub>4</sub> и алюминийорганическими соединениями приводят к образованию органорастворимых соединений. В качестве эпоксидных соединений

Сигналы протонов были распределены по типам следующим образом: А - ароматические (6,2-8,0 м.д.); В - олефиновые (4,0-6,2 м.д.),



**Рисунок 2.** 7 ЯМР  $^{1}$ Н-спектры СИФ и НПС<sub>СИФ</sub>, мольное соотношение TiCl<sub>4</sub> : Al(C<sub>2</sub>H<sub>5</sub>)<sub>3</sub> 1:1, температура 80  $^{\circ}$ С. Отбор проб: **1**- 10 мин; **2**- 20 мин; **3**- 60 мин; **4**- 180 мин; **5**- 16 часов



**Рисунок 2. 8** Изменение содержания протонов от времени олигомеризации

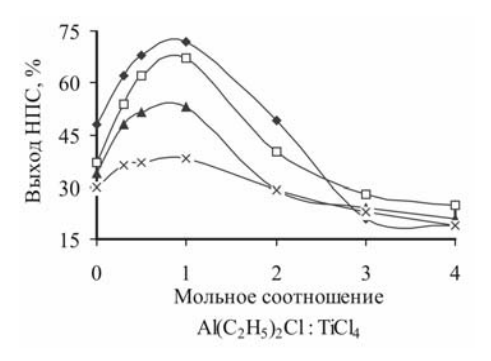
(С) - метильные и метиленовые в  $\alpha$ -положении  $\kappa$  ароматическому кольцу и к двойным связям (2,0-3,6 м.д.), D - метиновые парафиновые и нафтеновые протоны (1,5-2,0 м.д.), E - метиленовые парафиновые и нафтеновые (1,05-1,50 м.д.) и F - метильные (0,50-1,05 м.д.).

Значения нормализованных интегральных интенсивностей групповых сигналов приведены на рис. 2.7. Рассматривая изменения значений интегральных интенсивностей всех типов протонов, происходящих в реакционной массе, следует отметить уменьшение в группе олефиновых (4,0-6,2 м.д.) протонов, а также антибатное изменение интенсивностей сигналов групп С и D.

В первые 10 мин. олигомеризация протекает в основном за счёт производных стирола, что характеризует снижение интенсивности от 13,2 до 7,9 % протонов в группе (В). В дальнейшем процесс олигомеризации продолжается за счёт непредельных протонов менее реакционноспособных ά- метил-ДЦПД, (также стирола, изменение в группе В). Это подтверждает антибатность поведения кривых (рис. 2.8) для групп В и D сигналов протонов ЯМР <sup>1</sup>Н- спектров. Исследование в области от 1,0 до 4,0 м.д.

экстремальный характер с максимумом в области соотношений  $Al(C_2H_5)_2Cl$ :  $TiCl_4$  от 0,3 до 1,0. Совместный анализ графиков зависимостей выходов олигомеров от мольного соотношения Al: Ti показывает, что независимо от используемого сокатализатора —  $Al(C_2H_5)_2Cl$ ,  $Al(C_2H_5)_3$  или  $Al(uso-C_4H_9)_3$ , кривые носят экстремальный характер с максимумом в области 0,3 — 1,0 с резким уменьшением значения выхода при дальнейшем увеличении содержания алюминийорганических соединений. Следует отметить, что активность каталитической системы с  $Al(uso-C_4H_9)_3$  ниже, нежели с другими алюминийорганическими соединениями.

На рис. 2.5 и 2.6 представлены результаты исследования зависимости выходов НПС от соотношения  $Al(C_2H_5)_2Cl: TiCl_4$  и температуры синтеза.



75 60 45 30 15 0 1 2 3 4 Мольное соотношение Al(C<sub>2</sub>H<sub>5</sub>)<sub>2</sub>Cl: TiCl<sub>4</sub>

Рисунок 2.5 Влияние температуры процесса на выход НПС дцпдф. Температура олигомеризации (°C): х 60;  $\blacktriangle$  70;  $\Box$  80;  $\diamondsuit$  90

**Рисунок 2.6** Влияние температуры процесса на выход НПС<sub>СИФ.</sub> Температура олигомеризации (°C):  $\times$  60;  $\triangle$  70; ■ 80; • 90

Температура, при которой достигается максимальный выход олигомера (40–65 %), находится в интервале 70-90 °C, но следует отметить, что повышение температуры реакции до 90 °C помимо увеличения выхода приводит к образованию продуктов, плохо растворимых в ароматических растворителях (толуол, ксилол), с высокой цветностью и меньшей температурой размягчения.

Результаты анализа физико-химические характеристик смол (таб. 2.1) позволяют охарактеризовать полученные продукты как олигомеры со средней молекулярной массой от 500 до 800, температурой размягчения 80-105 °С и цветом 180-300 ед., что позволяет рекомендовать их как компонент плёнкообразующего материала в лакокрасочной промышленности.

**Таблица 2. 1** – Физико-химические свойства НПС (80 °C, 180 мин.)

Тип смолы	Соотношение компонентов	Выход смолы,	Т <sub>РАЗМ</sub> . по КиШ, °С	Мол. масса	Цвет по ИМШ
	катализатора	%	,	г/моль	50 % р-р НПС
НПССИФ	TiCl <sub>4</sub>	28	96	500	1500
НПСДЦПДФ	TiCl <sub>4</sub>	38	99	500	1400
НПССИФ	TiCl <sub>4</sub> :Al( <i>u30</i> -C <sub>4</sub> H <sub>9</sub> ) <sub>3</sub>				
	1,0:0,3-0,5	37-43	78-82	500-600	200-300
	1,0:1,0	28	60	520	300
НПС <sub>ДЦПДФ</sub>	1,0:0,3-0,5	48-50	75-80	550-770	220-250
	1,0:1,0	44	68	520	250
НПС <sub>СИФ</sub>	$TiCl_4$ - $Al(C_2H_5)_3$				
	1,0:0,3-0,5	48-56	95-104	680-850	200-220
	1,0:1,0	59	114	870	180
НПСДЦПДФ	1,0:0,3-0,5	57-65	91-105	580-750	250-280
	1,0:1,0	54	101	560	280
$H\Pi C_{CM\Phi}$	$H\Pi C_{CИ\Phi}$ $TiCl_4$ - $Al(C_2H_5)_2Cl$				
	1,0:0,3-0,5	62-63	92-102	600-850	200-250
	1,0:1,0	53	96	690	300
	1,0:2,0	38	89	560	300
НПС <sub>ДЦПДФ</sub>	1,0:0,3-0,5	54-63	87-91	520-630	200-220
	1,0:1,0	68	109	600	250
	1,0:2,0	43	103	580	250

Олигомеризация с использованием индивидуального  $TiCl_4$  в качестве катализатора приводит к невысоким выходам НПС с высоким цветом. При оценке каталитической активности рассматриваемых систем по отношению к фракциям следует учитывать, что для каждого алюминийорганического соединения существует собственное оптимальное соотношение Ti:Al. Так, каталитические системы с  $Al(uso-C_4H_9)_3$  наименее активны, а в активностях каталитических систем с участием  $Al(C_2H_5)_2Cl$  и  $Al(C_2H_5)_3$  в олигомеризации CИФ и ДЦПДФ происходит некоторая инверсия, но в целом они приблизительно одинаковы.

В процессе исследований установлено, что наиболее активными при олигомеризации непредельных соединений являются каталитическими системы  $TiCl_4$  с  $Al(C_2H_5)_2Cl$  и  $Al(C_2H_5)_3$  позволяющие работать с разнообразными составами сомономеров, в том числе содержащими диены. Дальнейшие исследования проводились с использованием систем  $TiCl_4$ — $Al(C_2H_5)_3$ .

На основании хроматографических исследований состава исходных фракций и вакуумного отгона непрореагировавших углеводородов синтеза олигомерных продуктов составлен компонентный материальный баланс (табл. 2.2).

**Таблица 2. 2** — Компонентный материальный баланс синтеза  $H\Pi C_{\text{СИФ}}$  при мольном соотношении Al: Ti, равном 0,3:1,0; температура синтеза  $80\,^{\circ}\text{C}$  время  $180\,\text{мин}$ 

синтеза 80 °С, время 180 мин.							
	ДЦПДФ	СИФ,	Углеводороды, вступившие в				
состав фракции	%	%	полимері	изацию, %	(через дробь указана		
			конверси	я углеводор	одов)		
			TiCl <sub>4</sub> -Al(	$C_2H_5)_2C1$	$TiCl_4$ - $Al(C_2H_5)_3$		
			НПССИФ	НПСДЦПДФ	НПС <sub>СИФ</sub>	НПСДЦПДФ	
Бензол	2,3	1,9	_	_	_	_	
Толуол	8,3	10,5	_	_	_	_	
Этилбензол	1,7	3,8	_	_	_	_	
м, п-Ксилолы	6,2	10,9	_	_	_	_	
Мезитилен	1,8	2,4	_	_	_	_	
Стирол	9,8	17,8	16,4/92	9,2/93	17,4/97	8,7/88	
α-Метилстирол	1,9	2,8	2,6/92	1,7/89	2,6/92	1,7/89	
Дициклопентадиен	34,6	19,3	12,4/65	26,5/77	15,4/79	21,5/67	
Циклопентадиен	12,6	_	_	12/95	_	9,5/75	
Винилтолуолы	0,8	2,8	2,6/92	0,7/87	2,6/92	0,7/87	
Индан	_	0,7	_	_	_	_	
Инден	_	2,3	2,1/91	_	2,3/100	_	
Неароматические							
углеводороды	13,6	14,1	9,2/65	12,2/89	10,2/72	10,2/75	
$C_6 + C_8$							
Неидентифици-							
рованные							
ароматические	6,4	10,7	7,8/72	2,7/42	6,0/56	1,7/26	
углеводороды			,	,	, i	,	
Всего	100	100	53,0	65,0	59,0	54,0	

Полученные результаты подтверждают данные спектральных анализов. Так,  $H\Pi C_{\text{СИФ}}$  содержит значительное количество мономерных звеньев ароматического характера, а в структуре  $H\Pi C_{\text{ДЦПДФ}}$  наряду с незначительным количеством ароматических звеньев присутствует повышенное содержание дициклопентадиеновых звеньев.

С помощью ЯМР  $^1$ Н — спектроскопии исследован процесс олигомеризации СИФ с использованием каталитической системы  $Al(C_2H_5)_3$ :  $TiCl_4$ , мольное соотношение 1:1. Процесс проводили в течение 180 мин. при температуре  $80 \pm 2$  °C. Регистрация спектров проводилась через 10, 20, 30 мин. с использованием внешнего стандарта ( $D_2O$ ). Для определения состояния завершённости реакции через 16 час. был снят последний спектр (рис. 2.7).